

РЕГУЛИРОВАНИЕ ПОЛЯ ОСТАТОЧНЫХ НАПРЯЖЕНИЙ В ОБРАЗЦАХ ДЛЯ ИСПЫТАНИЯ ПАЯННЫХ СОЕДИНЕНИЙ НА ПРОЧНОСТЬ ПРИ ЦИКЛИЧЕСКОМ НАГРУЖЕНИИ

Белорусско-российский университет, г. Минск, пр. Мира, 43

Введение. Пайка широко применяется в зазорах областях современной промышленности. Для некоторых конструкционных материалов, например, меди и ее сплавов она является практически единственным методом получения неразъемных соединений. В процессе эксплуатации паяные соединения часто подвергаются воздействию переменных нагрузок, поэтому циклическая прочность является одной из важнейших характеристик их работоспособности. При этом правильный выбор конструкции образца является основой для обеспечения достоверности результатов при проведении испытаний паянных соединений методом изгиба с вращением [1]. В работе [1] показано, что стандартный образец [2] обеспечивает низкую достоверность результатов. Здесь же приведены рекомендации по конструированию, которые позволяют с большей достоверностью определять количество циклов нагружения при проведении испытаний. Однако эти конструкции, рекомендуемые авторами работы [1], требуют значительного расхода дорогостоящего паяемого материала, что увеличивает стоимость испытаний.

Постановка задачи. В данной работе поставлена задача снижения затрат на изготовление образцов для испытания паянных соединений при одновременном обеспечении высокой достоверности получаемых результатов.

Для этого нами была разработана конструкция образца, в которой из дорогостоящего паяемого материала (например, меди) выполнены только небольшая вставка 5 и стержень 4 (рис. 1). Остальные элементы образца выполнены из стали. Сравнение показывает, что предлагаемая конструкция позволяет сократить расход цветных металлов не менее, чем на 75%. Кроме того, в предлагаемой нами конструкции общая ось стержня 4 и вставки 5 может смещаться отно-

зительно оси закрепляющих пластин 1 и 2 на величину e , что позволяет проводить испытания в условиях воздействия на испытываемый паянnyй шов 6 не только изгибающегося, но и крутящего момента. При вращении такого образца крутящий момент изменяется в соответствии с формулой:

$$M_{kp} = P e \cos \varphi, \quad (1)$$

где P – вес груза, подвешенного к нагружающему устройству; e – смещение оси стержня относительно оси пластин; φ – угол поворота образца, обусловленный его вращением в процессе испытания. Напряжения среза от крутящего момента достигают максимума на краю паянного шва (там же максимальны и нормальные напряжения). Они также изменяются по схеме симметричного цикла, т. к. в процессе вращения крутящий момент изменяет не только свою величину, но и направление.

Тогда величину касательных напряжений в крайних волокнах испытываемого паянного шва можно определить из выражения:

$$\tau = \frac{M_{kp} R}{J_n} = \frac{M_{kp}}{W_n}, \quad (2)$$

где R – радиус стержня; J_n – полярный момент инерции сечения стержня; W_n – полярный момент сопротивления сечения диска.

Полярный момент сопротивления паянного шва определяется по известной формуле [3]:

$$W_n = \frac{\pi D^3}{16}, \quad (3)$$

где $D = 2R$ – диаметр стержня.

С учетом результатов (2) и (3) максимальные касательные напряжения цикла (при $\varphi = 0$) определяются следующим образом:

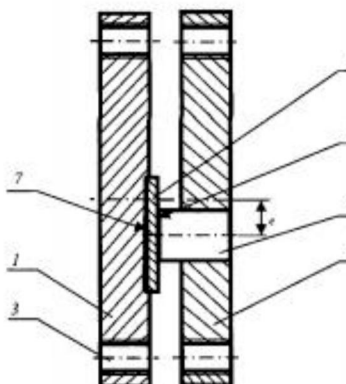


Рис. 1. Конструкция образца для испытаний на циклическую прочность, снабженного астажкой из испытываемого материала. 1 – диски; 2 – крепежные отверстия; 4 – стержень из паяемого материала; 5 – вставка из паяемого материала; 6 – испытываемый паянный шов; 7 – прикрепляющий паянный шов

$$\tau_{max} = \frac{16Pe}{\pi D^3} \quad (4)$$

Различие в материалах, из которых изготавливаются пластина 1 и вставка 5, приводит к образованию остаточных термических напряжений во всей зоне рассматриваемого образца, прилегающей к прикрепляющему паяному шву 7. Если в эту зону попадет испытываемый паянnyй шов 6, то термические напряжения могут оказывать значительное влияние на результаты проводимых испытаний, исказяя их. Поэтому исследование поля остаточных напряжений, обусловленных различием в коэффициентах термического расширения материалов пластины 1 и вставки 5, соединяемых паяным швом 7, для рассматриваемых образцов является важной задачей, без решения которой невозможно их правильно конструирование.

В данной работе исследование полей остаточных термических напряжений проведено расчетным методом. Для этого был использован метод конечных элементов, реализованный посредством программного продукта «COSMOS M». Схема разбиения образца на конечные элементы приведена на рис. 2. Материал пластин 1 и 2 – сталь толщиной 10 мм, материал стержня 4 и вставки 5 – медь M1. Температура плавления прилож – 337 °C. Эти условия

характерны для проведения испытаний соединений медь–медь, паянных легкоплавким припоем. При проведении расчетов анализировали распределение радиальных (σ_x), осевых (σ_y) и окружных (σ_z) составляющих остаточных напряжений.

Наиболее важным для практического использования результатом проведенных расчетов является то, что было установлено значительное влияние, которое оказывает толщина вставки 5 не только на величину напряжений, но и на характер их распределения. При толщинах 0,5–1,0 мм в материале пластины, и в материале вставки область термических напряжений охватывает район, радиус которого превышает радиус стержня 4 и выходит за границы испытываемого паянного шва (рис. 3). При толщинах 2–3 мм термические напряжения локализуются в области, прилегающей к паяному шву 7 и не достигают испытываемого паянного шва 6. Поэтому у краев испытываемого паянного шва, где нормальные и касательные переменные напряжения достигают максимума, термические напряжения практически отсутствуют. В соответствии с результатами, приведенными на рис. 3, здесь имеют место скжимающие напряжения σ_x величиной около 3,5 МПа, которые не могут оказать заметного влияния на стойкость при циклическом нагружении. Это позволяет избежать искажения результатов испытаний однородных паянных соединений, обусловленных воздействием поля остаточных термических напряжений, и с успехом применять образцы данного типа в практике. Для того, чтобы еще больше снизить степень воздействия припаяваемой стальной пластины 1 на результаты испытаний паянного соединения медь–медь можно рекомендовать использо-

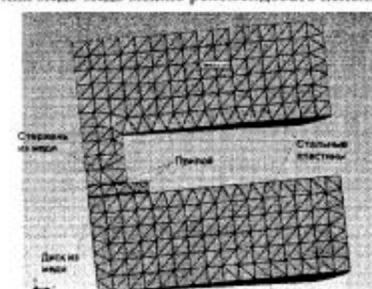


Рис. 2. Схема разбиения модели на конечные элементы

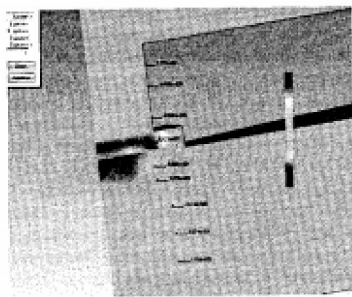


Рис. 3. Распределение радиальных напряжений при толщине вставки, равной 1,0 мм

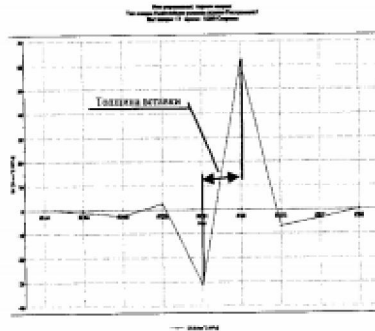


Рис. 4. Влияние расположения точки на величину радиальной составляющей остаточных термических напряжений при толщине вставки 1 мм

вание для пайки прикрепляющего паяного шва 7 припоя, более легкоплавкий, чем испытываемый. В качестве такого припоя можно использовать, например, сплав Розе, который имеет температуру плавления всего 94°C [4]. Применение такого припоя сокращает температурный интервал образования термических напряжений с соответствующим снижением их уровня. При этом требуемая прочность прикрепления вставки может быть легко обеспечена увеличением ее радиуса. Как показывает формула (4), при диаметре вставки 5, который превышает диаметр стержня 4 в 1,7 раза, напряжения от приложенной нагрузки в паяном шве 7 будут в 5 раз меньше напряжений в испытываемом паяном шве 6.

При проведении исследований работоспособности паяных соединений значительный интерес представляют результаты, отражающие влияние, которое оказывают остаточные напряжения на циклическую прочность паяных соединений. Поэтому в исследовательских целях приходится специально создавать поле остаточных напряжений в паяных соединениях одинаковых материалов перед началом испытаний. Для этих целей были разработаны способы воздействия на напряженное состояние, основанные на применении временных вспомогательных элементов, припиваемых к испытываемому паяному соединению, припоеем с температурой плавления, большей, чем у испытываемого шва [5, 6]. Они позволяют создавать в зоне испытываемого паяного шва остаточные напряжения величиной до 60 МПа, однако требуют значительных затрат, что обусловлено необходимостью пайки дополнительного паяного шва и последующей меха-

нической обработки для удаления временного вспомогательного элемента после выполнения испытываемого паяного шва. Еще одним недостатком известного способа является значительное термическое воздействие на детали испытываемого паяного соединения при пайке временного вспомогательного элемента из-за высокой температуры плавления припоя, применяемого для этой цели. Последняя особенность самым непосредственным образом влияет на достоверность результатов испытания и при значительной разнице в температурах плавления припоея, используемых для пайки основного и вспомогательного швов, может серьезно исказить эти результаты.

По нашему мнению, рассматриваемая конструкция образца больше подходит для исследования влияния остаточных напряжений на циклическую прочность. Как следует из рис. 4, простое использование медной вставки толщиной 1 мм, припиваемой к стальной закрепляющей пластине, обеспечивает создание напряженного состояния, при котором величина радиальной составляющей в паяемом материале на границе паяного шва составляет более 60 МПа. Чтобы оценить уровень термических напряжений в паяном соединении медь–медь в различных вариантах выполнения образца рассматриваемой конструкции были проведены расчеты напряженного состояния для различных толщин вставки и температур плавления припоея, используемых при ее припывании к пластине. Результаты расчетов сведены в таблицу.

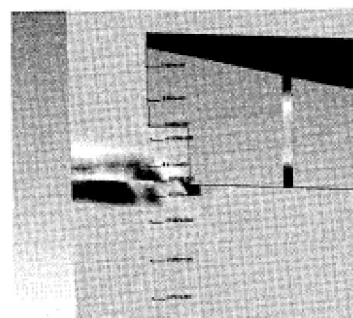


Рис. 5. Распределение радиальных напряжений при толщине вставки, равной 3 мм

Влияние толщины вставки и температуры плавления припоя на величину радиальной составляющей остаточных термических напряжений

№ п.п.	Толщина вставки, мм	Температура плавления припоя, °С	Величина радиальной составляющей на границе испытываемого паяного шва, МПа
1	1,0	337	61,2
2	3,0	337	3,5
3	1,0	600	103,7
4	3,0	600	6,2
5	1,0	94	22,7
6	3,0	94	1,28

Анализируя результаты, представленные в табл. 1, следует отметить важную особенность образца рассматриваемой конструкции. А именно: пригодность для проведения испытаний соединений, паяемых как легкоплавкими, так и тугоплавкими припоями. Ведь припой с высокой температурой плавления имеют и высокую прочность. Поэтому при проведении испытаний в условиях воздействия остаточных напряжений они требуют более высокого уровня этих напряжений. Эти требования хорошо выполняются предлагаемым образцем. При повышении температуры плавления припоя до 600°C радиальные напряжения в образце

увеличились с 61 МПа до 103,7 МПа. В известном же способе проведения испытаний остаточные напряжения создаются за счет разницы в температурах плавления припоея (испытываемого и вспомогательного, который должен быть более тугоплавким, чем испытываемый). С увеличением температуры плавления испытываемого припоя эта разница будет только уменьшаться. Поэтому в известном способе изведения остаточных напряжений их уровень не может повышаться с ростом температуры плавления испытываемого припоя. Это является еще одним недостатком известного способа, от которого можно избавиться путем применения образцов, имеющих вставку из паяемого материала.

Очевидно, что напряженное состояние в предлагаемом образце можно регулировать, varyируя величину коэффициента термического расширения материала вставки. С увеличением разницы в коэффициентах термического расширения материалов пластины 1 и вставки 5 уровень остаточных термических напряжений и размеры зоны их действия будут увеличиваться.

Выводы

1. Предложен конструкция образца для проведения испытаний паяных соединений на циклическую прочность методом изгиба с вращением, которая обеспечивает снижение расхода дорогих паяемых материалов за счет применения вставок, также изготавливаемых из паяемого материала.

2. Установлено, что использование вставок из паяемого материала позволяет регулировать напряженное состояние в зоне испытываемого паяного шва за счет изменения толщины вставки, температуры плавления припоя, используемого для прикрепления вставки и разницы в коэффициентах термического расширения материалов закрепляющей пластины и вставки.

Литература

- Цумарев Ю. А., Тарасенко И. В. Образцы для определения циклической прочности паяных соединений методом изгиба с вращением // Сварочное производство. 2004, № 2. – С. 17–18.
- ГОСТ 26446–85 Соединения паяные. Методы испытаний на усталость. – Введ. 22.01.85 г. – М.: Изд-во стандартов, 1985. – 23 с.
- Федосеев В. И. Сопротивление материалов. – М.: Наука, 1986. – 512 с.
- Лашко С. В., Лашко Н. Ф. Пайка металлов. – М.: Машиностроение, 1988. – 376 с.
- А. с. 1523950. МКИ G01N 1/28, B23K 1/00. Способ подготовки образца нахлесточного паяного соединения к испытанию / Цумарев Ю. А., Стеклов О. И., Тарасенко И. В., Черникова Е. В. (СССР). – № 4372471/31-27; Заявка 01.02.88, Опубл. 23.11.89, Бюл. № 43 // Открытия. Изобретения. – 1989. – № 43. – С. 72.

*«Вестник Полоцкого государственного университета»
продолжает традиции первого в Беларуси литературно-
научного журнала «Месячник Полоцкий».*

МЕТОДИКА СТАТИСТИЧЕСКОЙ ОЦЕНКИ ПОКАЗАТЕЛЕЙ ПРОЧНОСТИ
ПЯННЫХ СОЕДИНЕНИЙ, ПОЛУЧЕННЫХ НА ОБРАЗАХ РАЗЛИЧНЫХ ТИПОВ

д-р техн. наук, проф. В.К. ШЕЛЕГ
(Белорусский национальный технический университет, Минск);
канд. техн. наук, доц. Ю.А. ПУМАРЕВ, Т.С. ЛАТУН
(Белорусско-Российский университет, Могилев)

Рассмотрена проблема неопределенности, возникающей при оценке результатов механических испытаний, подтвержденных полиграфическим нагружением испытываемых паянных швов. Предложен методика, которая основана на статистической оценке среднего значения прочности одного из испытываемых паянных швов. Это значение должно соответствовать максимальному соединению двух первых исходных выборок в совокупности параметров прочности, полученной путем оценки для всех паянных швов. Проведена экспериментальная проверка предложенной методики, которая показала возможность практического ее применения. Предложенную методику статистической оценки показателей прочности паянных соединений можно рекомендовать для более достоверного и корректного сравнивания результатов, полученных при испытании образцов различных типов.

Введение. Пайка является одним из важнейших технологических процессов современного промышленного комплекса. Она широко применяется для соединения цветных металлов и сплавов, разнородных материалов, а также элементов, имеющих разную толщину. В практике пайки находят применение разнообразные типы соединений, которые имеют различные характеристики несущей способности даже при сопоставлении одинаковых технологий изготовления. В связи с этим достаточно актуальной проблемой является обоснованное сопоставление данных по прочности, относящихся к разным типам паянных соединений. Например, для соединения труб могут использоваться паяные соединения двух типов [1, 2] (рис. 1).

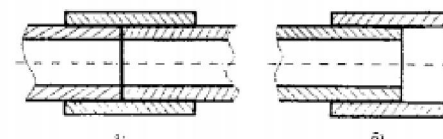


Рис. 1. Типы паяных соединений труб:
а – штутгартов; б – телескопическое

Особенность конструкции, показанной на рисунке 1 а, является наличие двух паянных швов, работающих параллельно. Здесь рабочая нагрузка не распределяется между двумя швами, а воспринимается полностью каждым швом. Аналогичным образом работают под нагрузкой паяные соединения пластин, снаженные накладками (рис. 2).



Рис. 2. Паяные соединения пластин:
а – с накладкой; б – настыковочное

Паяные соединения с двумя швами используются также в конструкции стандартного образца для проведения испытаний на прочность при циклическом нагружении, которые осуществляются методом изгиба с вращением [3]. При этом края образцов с двумя испытываемыми паянными швами находят применение образцов с одиничными швами, конструкция которых показана на рисунке 3.

Наличие двух одновременно и однократно нагружаемых паянных швов приводит к неопределенности в оценке их прочностных характеристик, обусловленной тем, что при разрушении дробится только один из испытываемых швов. Поэтому информация о прочностных характеристиках более прочного шва не учитывается, вследствие чего сокращаются полученные результаты. В работе [4] показано, что при проведении

Адрес редакции:

Полоцкий государственный университет, ул. Блохина, 29, г. Новополоцк, 211440, Беларусь
тел. + 375 (214) 53 34 58, e-mail: vestniki@psu.by

Отв. за выпуск В.П. Иланов, Н.Н. Попок, М.Л. Хейфер

Редакторы: Р.Н. Акласенок, Д.М. Маковиц. Техн. редактор Р.Н. Альбасенок.

Подписано к печати 25.02.09. Бумага офсетная 70 г/м². Формат 60x84 1/16. Гарнитура Times New Roman.
Ригография. Усл. печ. л. 18,01. Уч.-изд. л. 22,42. Тираж 60 экз. Заказ 317

испытаний на статическое растяжение оценка предела прочности при срезе может быть занижена на 8 %. В этой же работе установлено, что при испытаниях на выносимость регистрируются коэффициенты, которые на 14 % меньше, чем полученные на образах с одним паяным швом [4].

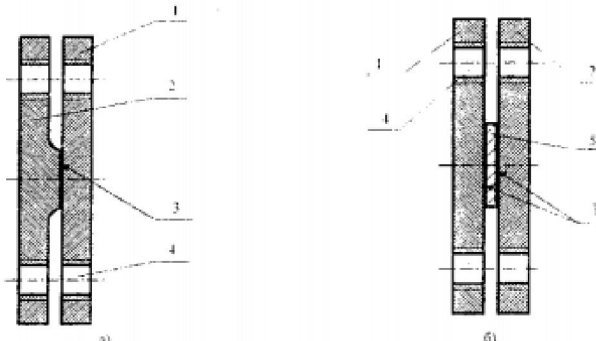


Рис. 3. Конструкции образцов для испытаний паяных соединений с одним швом (а) и двумя швами (б) на статическую прочность методом изгиба с вращением:
1, 2 – пластинки; 3 – паяные швы; 4 – крепежные отверстия; 5 – диск

Устранение такой неопределенности, возникающей при попарном загружении паяных швов, в работе [4] предложено производить путем изменений, вносимых в конструкцию образца для проведения испытаний на выносимость. Эти изменения сводятся к тому, что устраивается второй паяный шов (см. рис. 3) или изменяется его размер и соответственно несущая способность [5 – 7].

Для испытаний на статическое растяжение (наиболее распространенных при определении работоспособности) рекомендации отсутствуют. Это приводит к тому, что при разработке технологических процессов пайки и конструктировании паяных соединений разработчики сталкиваются с несоответствием результатов, полученных при растяжении стандартных образцов с одним паяным швом, и данными по испытаниям реальных конструкций, например, муфтовых соединений труб. Оптимистические оценки, основанные на результатах испытаний стандартных образцов, не подтверждаются данными, получаемыми при проверочных испытаниях. Это увеличивает сроки разработки конструкто-технической документации и внедрения новых конструкций. Кроме того, затрудняется оценка результатов, получаемых другими исследователями.

Цель данной работы – разработка методики статистической обработки результатов, обеспечивающей получение более согласованных данных при испытании паяных соединений разной конструкции.

Основная часть. Рассмотрим данные результатов испытания на статическое растяжение 10-ти паяных образцов, приведенные в работе [4]. Определим статистические характеристики этой выборки: среднее значение предела прочности $\bar{\tau}_{\text{ср}} = 14.9 \text{ МПа}$; дисперсия $D = 2.25$; среднее квадратичное отклонение $s = 1.5$; асимметрия $A_s = 0.75$; эксцесс $E_s = -0.0617$.

Таблица 1

Пределы прочности на срез паяных соединений ячейковой-мезы

Номер образца	1	2	3	4	5	6	7	8	9	10
Предел прочности при срезе, Н/м	15.5	13.8	17.8	13.5	14.2	15.3	16.7	15	14	13

Производим проверку исходного распределения предела прочности на нормальность по критериям асимметрии и эксцесса [8]:

$$\left| \frac{1}{ns} \sum_{i=1}^n (\tau_i - \bar{\tau}_{\text{ср}})^3 \right| \leq 3 \sqrt{\frac{6(n-1)}{(n+1)(n+3)}} \quad (1)$$

$$|E_s| \leq 5 \sqrt{\frac{24n(n-2)(n-3)}{(n+1)^2(n+3)(n+5)}} \quad (2)$$

где τ_i – текущее значение предела прочности паянного соединения; $\bar{\tau}_{\text{ср}}$ – среднее значение предела прочности, $n = 10$ – объем выборки.

Проверка подтверждена гипотеза о том, что исходное распределение предела прочности является нормальным, подтверждена.

Соединяя эти образцы попарно, как рекомендовано в работе [4], мы получим серию выборок, каждую из которых можно рассматривать как анализ испытаний образцов с попарным нагружением. Из этой серии наибольший интерес для нас представляет выборка, которая связана с максимальным искажением результатов. Очевидно, что в этой выборке должны присутствовать наименьшие значения предела прочности (13; 13.5; 13.8; 14; 14.2). Определим для нее основные характеристики:

- среднее значение $\bar{\tau}_{\text{ср1}} = 13.7 \text{ МПа}$;
- дисперсия $D_{\text{ср1}} = 0.22$;
- среднее квадратичное отклонение $s = 0.47$.

Как и следовало ожидать, попарное нагружение резко уменьшает разброс экспериментальных данных. Представляет интерес и выборка, которая связана с минимальным искажением результатов. Чтобы получить ее, надо сопоставить значения предела прочности, наиболее близкие друг другу, из каждой пары выбрать меньшее. Тогда получим следующую совокупность пределов прочности: 13; 13.8; 14.2; 15.1; 16.7. Для нее также определим основные характеристики:

- среднее значение $\bar{\tau}_{\text{ср2}} = 14.6 \text{ МПа}$;
- дисперсия $D_{\text{ср2}} = 2.065$;
- среднее квадратичное отклонение $s = 1.44$.

У каждого образца с двумя паяными швами один из них прочнее другого на некоторую величину Δ . Поэтому соотношение между показателями прочности паяных швов одного и того же образца записывается следующим образом:

$$a_1 = b_1 = \Delta, \quad (3)$$

С учетом результата (3) среднее арифметическое значение предела прочности для серии испытаний образцов с двумя паяными швами, учитывающее прочность всех швов, определяется следующим образом:

$$\bar{\tau}_{\text{ср}} = \frac{1}{2n} \sum (a_i + b_i) = \frac{1}{2n} \sum (b_i + \Delta_i + b_i) = \frac{2\sum b_i}{2n} + \frac{\sum \Delta_i}{2n} = b_{\text{ср}} + \Delta_{\text{ср}}, \quad (4)$$

где $b_{\text{ср}}$ – среднее арифметическое значение предела прочности, полученному с учетом только менее прочных паяных швов, $\Delta_{\text{ср}}$ – среднее значение превышения прочности одного из швов в одном и том же образце.

Результат (4) показывает, что для полной оценки среднего значения прочности образцов с двумя швами необходимо определять только один параметр – $\Delta_{\text{ср}}$. Конкретные значения величин Δ , не влияют на эту оценку.

Используя результат (4) можно решать две противоположные друг другу задачи. Одна из них, более простая, связана с оценкой величины $b_{\text{ср}}$ на основании результатов испытания стандартных образцов с одним паяным швом. Необходимость в решении такой задачи может возникнуть, например, при анализе литературных данных с целью предварительной оценки возможной прочности паянных соединений муфтового типа, паянных по той же технологии.

Для решения этой задачи достаточно по рассмотренной выше схеме определить минимальную ($\bar{\tau}_{\text{ср1}}$) и максимальную ($\bar{\tau}_{\text{ср2}}$) оценки этой величины. Наиболее вероятное значение предела прочности паяных соединений муфтового типа определяется как среднее арифметическое:

$$\bar{\tau}_{\text{ср}} = \frac{\bar{\tau}_{\text{ср1}} + \bar{\tau}_{\text{ср2}}}{2}. \quad (5)$$

В рассматриваемом нами случае получим $\bar{\tau}_{\text{ср}} = 14.15 \text{ МПа}$, что более чем на 5 % отличается от показателя прочности стандартных образцов.

Вторая, обратная задача, заключается в оценке величины $\bar{\tau}_{\text{ср}}$ по результатам испытания паяных соединений муфтового типа. Здесь надо по данным о несущей способности менее прочных паяных швов (значениям b) оценить величину $\Delta_{\text{ср}}$.

По нашему мнению, при такой оценке надо исходить из того, что характеристика прочности всех паянных швов является одной и той же случайной величиной с одинаковым же значением дисперсии D и среднего квадратического отклонения s .

Поскольку конкретные значения величины Δ_p не влияют на оценку показателя прочности $\tau_{p,y}$, можно считать, что $\Delta_1 = \Delta_2 = \dots = \Delta_p = \Delta_p$. Используя результат (3), оценки показателя прочности не разрушенных при проведении испытаний швов следующим образом:

$$\hat{\alpha} = \hat{b}_1 + \Delta_p \quad (6)$$

Увеличенная постепенно значения параметра Δ_p и определены для каждого из них величины $\hat{\alpha}$, рассмотрим совокупность числа a и b , как распределение случайной величины $\tau_{p,y}$. Для каждого значения Δ_p определяем основные параметры распределения – дисперсию, среднее квадратическое и эксцесс. Результаты расчета сведены в таблицу 2. Рассмотрим выборку, имеющую наибольший разброс данных, которая дает заниженную оценку $\tau_{p,y}$ с дисперсией D_2 .

Таблица 2

Влияние значений Δ_p на параметры распределения случайной величины

Δ_p , МПа	Дисперсия, (МПа) ²	Среднее квадратическое, МПа	Эксцесс
0	2.065	1.44	-0.88
0.1	1.838	1.356	-0.88
0.2	1.85	1.36	-0.86
0.3	1.86	1.364	-0.83
0.4	1.905	1.38	-0.8
0.5	1.92	1.386	-0.756
0.6	1.94	1.393	-0.7
0.7	1.97	1.403	-0.69
0.8	2.03	1.42	-0.62

Результаты, приведенные в таблице 2, показывают, что по мере возрастания величины Δ_p дисперсия, среднее квадратическое и абсолютное значение эксцесса постепенно увеличиваются. При некотором значении Δ_p величина дисперсии достигает первоначального уровня $D = D_2$. При этом эксцесс не превышает значения, предусмотренного выражением (2). Величину параметра Δ_p , соответствующую тому значению дисперсии, следует принять за наиболее вероятную. Тогда по формуле (4) получим уточненное значение предела прочности $\tau_{p,y} = 15.0$ МПа. Таким образом, погрешность оценки этой величины благодаря пределу прочности $\tau_{p,y}$ уменьшилась с 0,3 до 0,1 МПа, т. е. в 3 раза.

При других вариантах исходной выборки были также получены более точные оценки предела прочности паянных соединений. Погрешность оценки уменьшалась в 1,4...1,8 раза.

При уменьшении числа параллельных опытов необходимость в уточнении результатов, получаемых экспериментами с попарным нагружением, возрастает. Чтобы показать это уменьшим число элементов в рассматриваемой выборке до восьми. Получим следующую совокупность чисел: 13,5; 13,8; 17,3; 13,5; 14,2; 16,7; 14; 13. Для нее определим среднее значение предела прочности $\tau_{p,y} = 14.81$ МПа, дисперсию $D = 2.861$ и среднее квадратическое отклонение $s = 1.691$. При попарном нагружении и максимальной погрешности результаты испытаний образцов с двумя одинаковыми паянными швами запишутся в виде следующей выборки из 4-х элементов: 13; (3,5; 13,8; 14. При обработке этих данных получим: $\tau_{p,y} = 13.575$ МПа; $D = 0,589$; $s = 0,768$. Как видим, погрешность оценки составляет 8,3 %. Для этой выборки также определим уточненное значение предела прочности путем последовательного увеличения значений параметра Δ_p . Результаты расчетов сведены в таблицу 3, которая является аналогом таблицы 2.

При $\Delta_p = 1,3$ МПа среднее квадратическое отклонение составляет 0,803 МПа, что всего на 4,6 % превышает этот показатель для исходной выборки. Поэтому для расчета уточненного значения показателя прочности используем $\Delta_p = 1,3$ МПа и получим $\tau_{p,y} = 14.225$ МПа. Таким образом, погрешность оценки, обеспеченная попарным нагружением паянных швов, снизилась с недопустимо большой величины (8,3 %) до вполне приемлемого значения (3,95 %).

Таблица 3

Определение уточненного значения предела прочности при уменьшении объема выборки

Δ_p , МПа	Дисперсия, (МПа) ²	Среднее квадратическое, МПа	Эксцесс
0	0,589	0,768	0,036
0,1	0,362	0,406	0,045
0,2	0,234	0,484	0,212
0,3	0,345	0,587	0,339
1,2	0,571	0,757	0,963
1,3	0,645	0,803	-1,11

Для окончательного решения вопроса о возможности применения предлагаемой методики статистической оценки результатов механических испытаний нами была проведена экспериментальная проверка, которая заключалась в сравнении результатов испытания двух партий паянных образцов медь-медь, паянных припом ПОС 40. Технологические процессы пайки для образцов обеих партий были одинаковыми, а различие между ними заключалось только в количестве одновременно испытываемых паянных швов. Форма и размеры образцов показаны на рисунке 4.

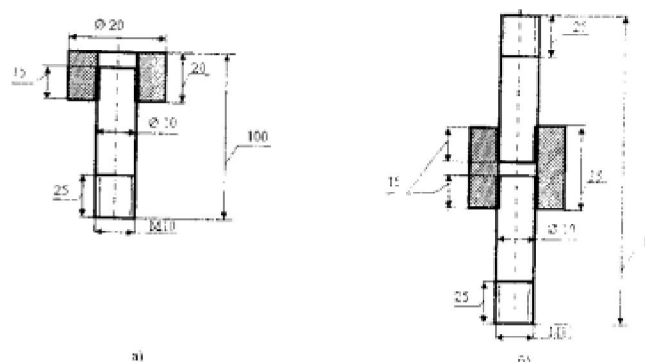


Рис. 4. Конструкция образцов для испытания паянных соединений на статическую прочность при растяжении. а – телескопического; б – муфтового

Механические свойства паянных соединений определяли при растяжении их на машине МР-0,5-1 со скоростью нагружения 18...20 мм/мин.

Образцы первого типа (см. рис. 4, а) имели следующие значения предела прочности на срез: 42,8; 50,4; 42,06; 39,2; 40,06, среднее значение для которых составляло $\tau_{p,y} = 42,904$ Н/м при дисперсии $s^2 = 19,68$.

Образцы муфтового типа (см. рис. 4, б) были получены другие значения пределов прочности: 42,39; 40,5; 41,72; 37,4; 38,81. При этом среднее значение составляло 40,664 МПа, а дисперсия $s^2 = 3,9$.

Приведенные данные показывают, что образцы с двумя одновременно испытываемыми паянными швами действительную область меньшей величиной предела прочности при меньшем разбросе экспериментальных данных.

Проведем статистическую обработку показателей прочности образцов первого типа и определим теоретическое значение предела прочности при попарном их нагружении. Максимальная оценка этого показателя $\tau_p = \frac{42,8 + 40,06}{2} = 41,43$ МПа. Минимальная оценка $\tau_p = \frac{39,2 + 40,06}{2} = 39,63$ МПа.

Тогда наиболее вероятное значение оценки предела прочности в случае попарного нагружения

$$\tau_p = \frac{\tau_1 + \tau_2}{2} = 40,53 \text{ МПа.}$$

Расхождение с результатом эксперимента составило:

$$\delta = \frac{40,51 - 40,04}{40,04} \cdot 100\% = 1,2\%.$$

Таким образом, предлагаемая методика оценки экспериментальных данных с высокой степенью достоверности предсказывает результаты для попарного нагружения образцов по данным испытания образцов с одним паянным швом.

Рассмотрим, насколько эффективно предлагаемая методика решает обратную задачу, оценивая результаты для образцов с одним паянным швом по результатам попарного нагружения. Увеличимо постепенно величину $\Delta_{\text{ср}}$, начиная с нулевого значения и определив для каждого значения дистерсии, как это предусмотрено предлагаемой методикой, получим линейные (табл. 4), аналогичные приведенным в таблице 3.

Таблица 4

Результаты расчета величины $\Delta_{\text{ср}}$ по результатам эксперимента

$\Delta_{\text{ср}}, \text{МПа}$	Дистерсия, (МПа) ²	Среднее квадратическое, МПа
0	3,46	1,86
0,2	3,48	1,865
0,4	3,51	1,87
0,8	3,64	1,91
1,2	3,86	1,96
1,5	3,937	1,98

Тогда, приняв $\Delta_{\text{ср}} = 1,5$, определим оценку предела прочности для образцов телескопического типа:

$$\tau_c = \frac{\sum [z_i \cdot (\tau_i + \Delta_{\text{ср}})]}{2n} = 41,81 \text{ МПа.}$$

Отличие от экспериментального результата составляет:

$$\delta = \frac{42,994 - 41,81}{42,994} \cdot 100\% = 2,55\%.$$

Вывод. Предложенную методику статистической оценки показателей прочности паяных соединений можно рекомендовать для более достоверного и корректного сравнения результатов, полученных при испытании образцов различных типов.

ЛИТЕРАТУРА

1. Лашко, Н.Ф. Пайка металлов / Н.Ф. Лашко, С.В. Лашко, – М.: Машиностроение, 1967. – 367 с.
2. Грязманский, Л.Л. Технология и оборудование пайки / Л.Л. Грязманский, И.И. Ильинский – М.: Машиностроение, 1979. – 240 с.
3. Соединения паяные. Методы испытаний на усталость: ГОСТ 26446-85. – Введ. 22.01.85 г., М.: Изд-во стандартов, 1985. – 23 с.
4. Цумарек, Ю.А. Образцы для определения циклической прочности паяных соединений методом имитации с вращением / Ю.А. Цумарек, И.В. Тарасенко // Сварочное производство. – 2004. – № 2. – С. 17–18.
5. Образец для испытания паяных соединений на циклическую прочность: пат. 6822(С1). (BY), МИНСК Г 01 – № 3/32 / Е.Ю. Латыкова, Ю.А. Цумарек, И.В. Тарасенко; заявл. 8.08.2000, опубл. 30.03.2005 // Афишины блж. / Национальный интеллектуал. улсанасці – 2005.
6. Составной образец для определения циклической прочности паяных соединений: пат. Респ. Беларусь 6996 (С1). (BY), МИНСК Г 01 Н 3/32 / И.В. Тарасенко, В.П. Беремянко, Е.Ю. Латыкова, Ю.А. Цумарек; заявл. 1.06.2000; опубл. 30.12.2005 // Афишины блж. / Национальный интеллектуал. улсанасці – 2005.
7. Паяный образец для испытания на циклическую прочность: патент № 2724 (U), (BY), МИНСК Г 01 Н 3/32 / Е.Ю. Латыкова; заявл. 10.10.2005; опубл. 30.06.2006 // Афишины блж. / Национальный интеллектуал. улсанасці – 2005.
8. Пустыльник, Е.И. Статистические методы анализа и обработки наблюдений / Е.И. Пустыльник. – М.: Наука, 1968. – 288 с.

Получено 28.11.2005